

Abb. 1: Räumliche Verteilung der Standorte

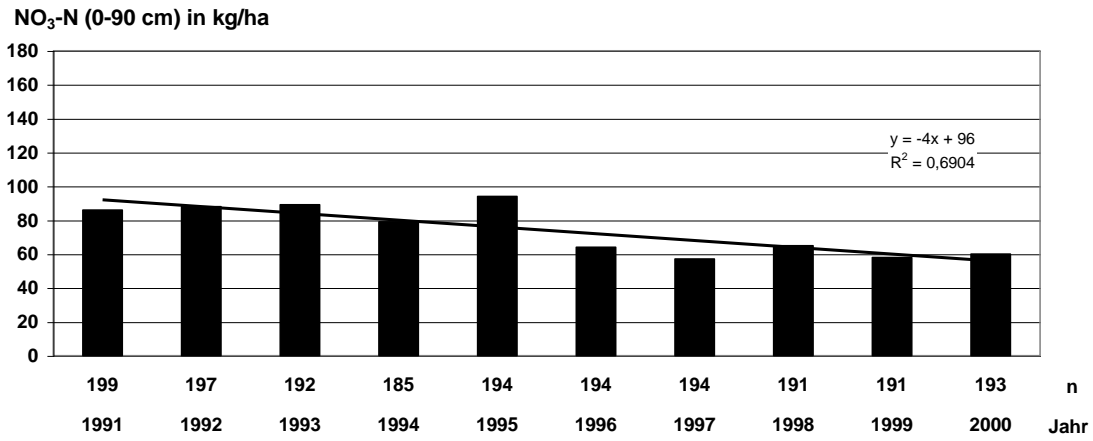


Abb. 2: Nmin-Gehalt unter allen Monitoringflächen, Jahre: 1991-2000, Termin: nach Ernte

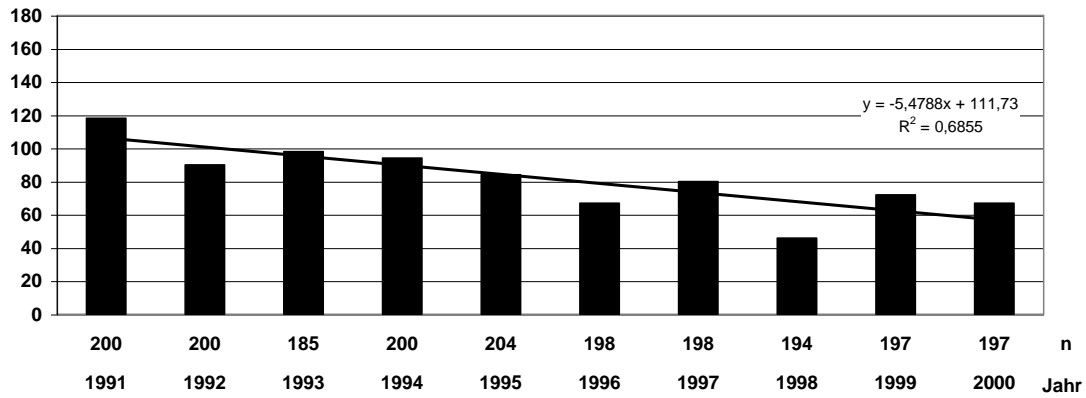
NO₃-N (0-90 cm) in kg/ha

Abb. 3: Nmin-Gehalt unter allen Monitoringflächen, Jahre: 1991-2000, Termin: Vegetationsende

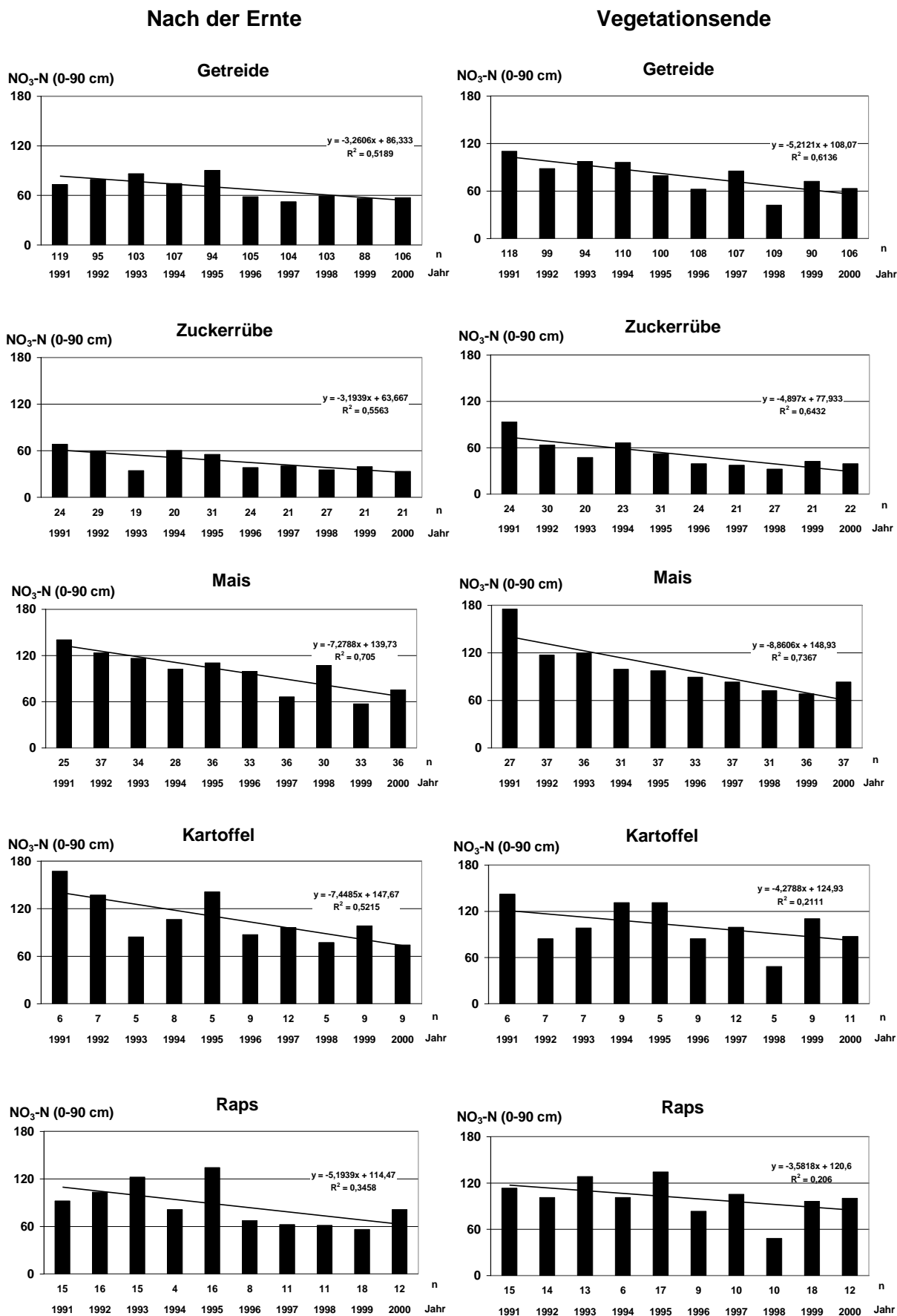


Abb. 4: Nmin-Gehalt (kg N/ha) unter allen Monitoringflächen Jahre: 1991-2000, Termine: Nach der Ernte und Vegetationsende

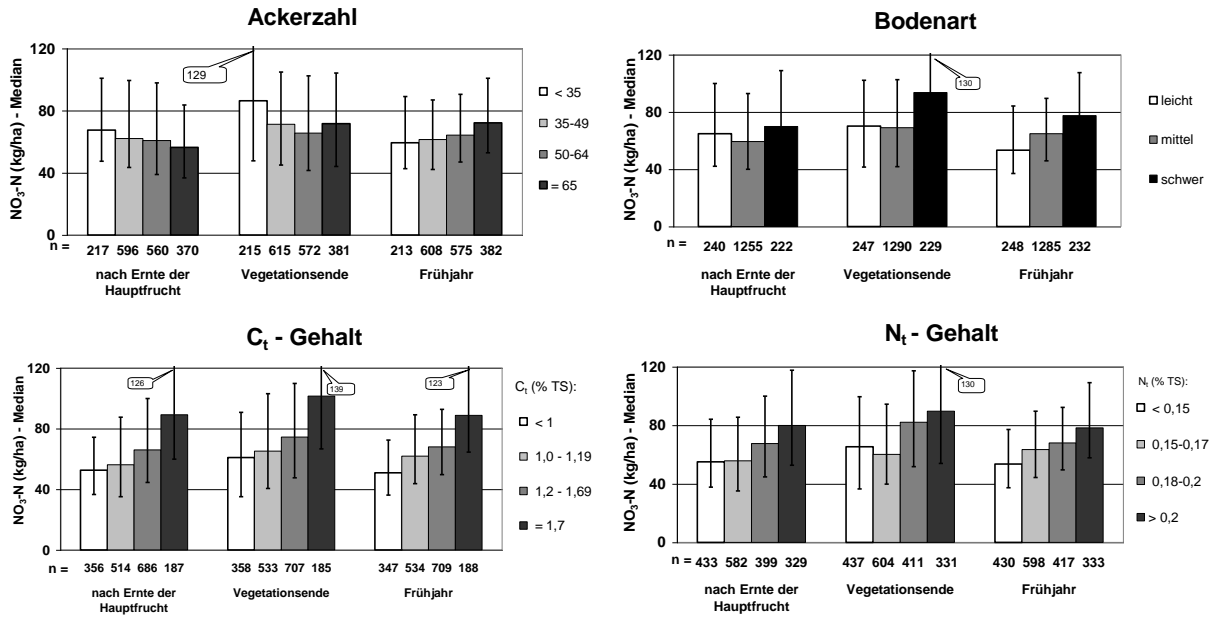


Abb. 5: N_{min}-Gehalte (0-90 cm) in Abhängigkeit von Standortfaktoren, Jahre 1991-2000

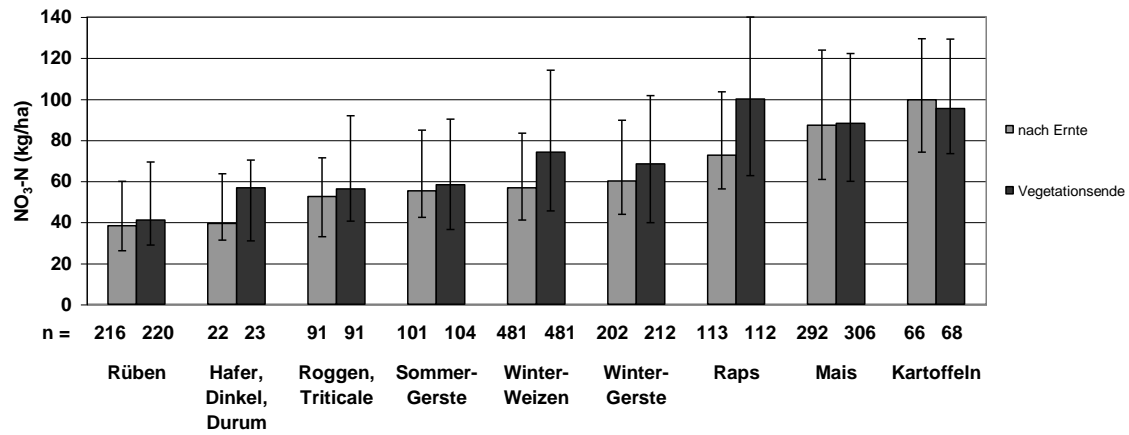


Abb. 6: N_{min} -Gehalte (Medianwert, 0-90 cm), nach der Ernte und zu Vegetationsende in Abhängigkeit von der Hauptfrucht, Jahre 1991-2000

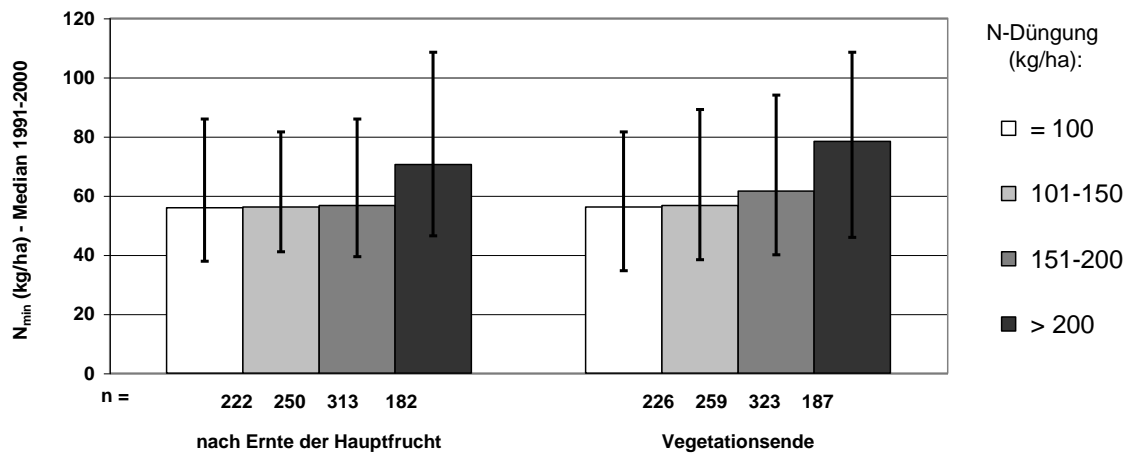


Abb. 7: N_{min}-Gehalte (0-90 cm) in Abhängigkeit von der N-Düngung (kg/ha) zur Hauptfrucht

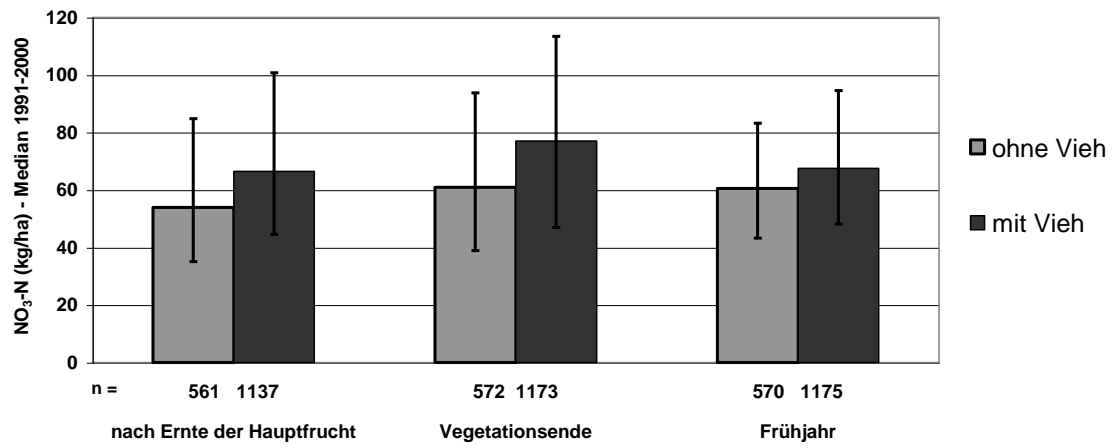


Abb. 8: Nmin-Gehalte (0-90 cm) in Abhängigkeit von der Viehhaltung

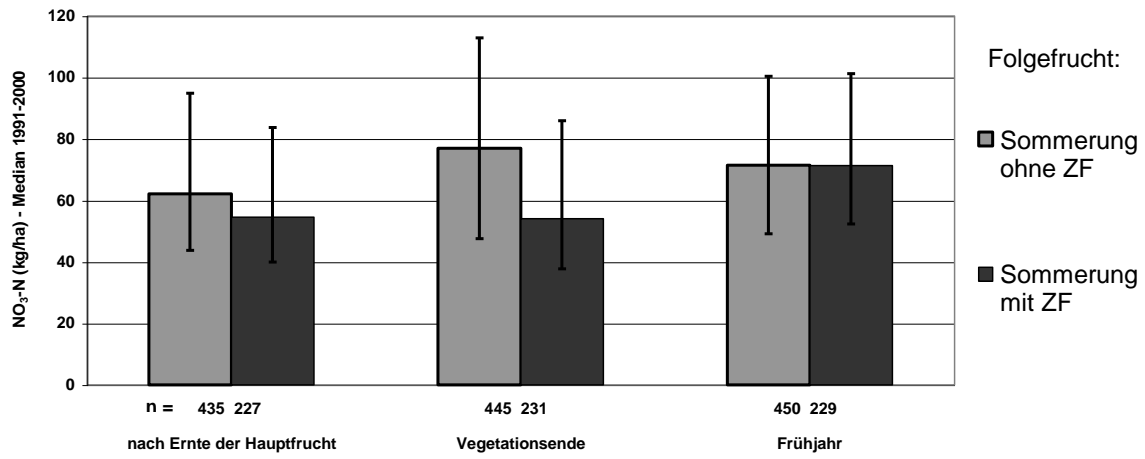


Abb. 9: Nmin-Gehalte (0-90 cm) in Abhängigkeit vom Zwischenfruchtanbau (ZF) - Getreide als Hauptfrucht -

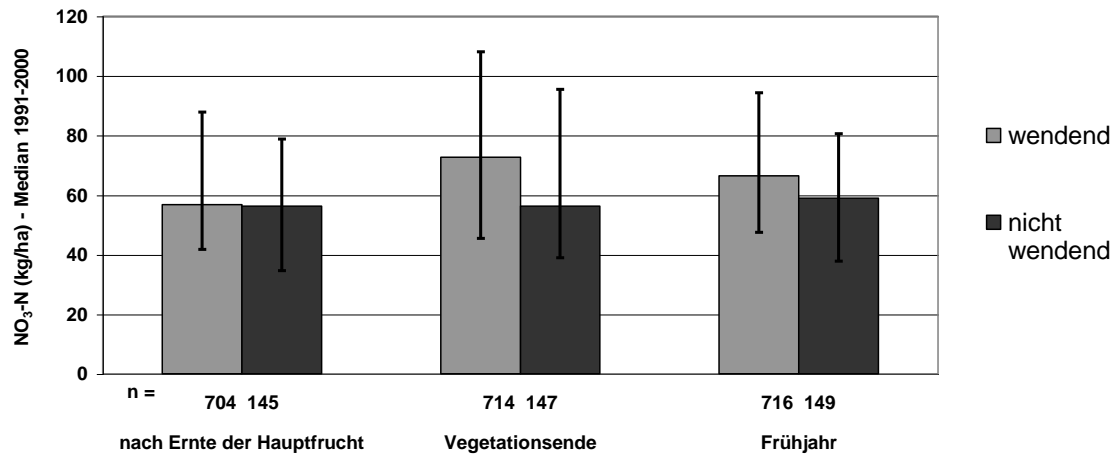


Abb. 10: Nmin-Gehalte (0-90 cm) in Abhängigkeit von der Grundbodenbearbeitung - Getreide als Hauptfrucht -

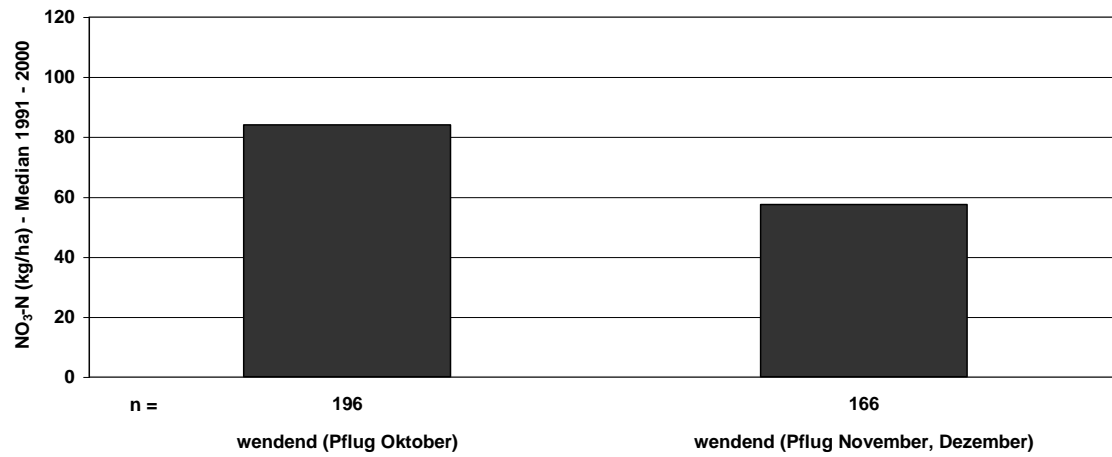


Abb. 11: Nmin-Gehalte (Vegetationsende 0-90 cm) in Abhängigkeit vom Zeitpunkt der wendenden Grundbodenbearbeitung - Getreide als Hauptfrucht-